

ANNALES
UNIVERSITATIS MARIAE CURIE - SKŁODOWSKA
LUBLIN — POLONIA

Vol. XIII, 2

SECTIO AA

1958

Z Katedry Chemii Nieorganicznej Wydziału Mat. Fiz. Chem. UMCS
Kierownik: prof. dr Włodzimierz Hubicki

MICHALINA DĄBKOWSKA

Ciekły amoniak LiClO_4 jako roztwór podstawowy w polarografii

Жидкий аммиакат LiClO_4 как основной раствор в полярографии

Liquid Ammoniate of Lithium Perchlorate as Solvent and Supporting Electrolyte in Polarography

Bezwodny ciekły amoniak jest dobrym rozpuszczalnikiem wielu substancji nieorganicznych i organicznych; reakcje redukcji i utleniania w tym rozpuszczalniku zachodzą w wielu wypadkach inaczej niż w wodzie. Duża zdolność jonizacyjna ciekłego NH_3 , jego wysoka stała dielektryczna $D = 22$ w temp. -34°C oraz przewodnictwo właściwe $H = 3 \cdot 10^{-8} \Omega^{-1} \cdot \text{cm}^{-1}$ (1) zwróciły uwagę Laitinen a i jego uczniów, którzy wykazali w swych pracach (2, 3, 4), że w środowisku ciekłego NH_3 można przeprowadzać przy zastosowaniu odpowiednich warunków eksperymentalnych pomiary polarograficzne. Jednak warunki te są dość kłopotliwe, gdyż większość operacji musi być przeprowadzana pod zwiększonym ciśnieniem albo też w specjalnej szklanej aparaturze w typie naczyń Dewara. W dużej mierze można ominąć tego rodzaju trudności eksperymentalne, stosując zamiast ciekłego amoniaku, tzw. ciekłe amoniakaty odpowiedniki ciekłych wodników. Zakres istnienia poszczególnych amoniaków w stanie ciekłym jest charakterystyczny dla soli tworzącej amoniakat, a procent zawartego NH_3 w danym amoniakacie jest ponadto zależny, rzecz zrozumiała, od ciśnienia i temperatury; w związku z tym wzory ciekłych amoniaków przyjęliśmy w naszej Katedrze oddawać symbolami danych soli tworzących amoniakat z zaznaczeniem przy nich ilości drobin amoniaku ogólnie przez n , np. $\text{NH}_4\text{NO}_3 \cdot n\text{NH}_3$.

Z ciekłych amoniaków stosunkowo najlepiej poznany był ciekły $\text{NH}_4\text{NO}_3 \cdot n\text{NH}_3$ odkryty w roku 1873 przez Diversa, który wykazał, że substancja ta jest dobrym rozpuszczalnikiem wielu związków chemicznych (5). Ilościowych danych odnoszących się do zdolności rozpuszcza-

nia innych ciekłych amoniaków nie znajdujemy w dotychczasowej literaturze. Ciekłe amoniaki zostały zastosowane jako cieczy podstawowe w badaniach polarograficznych przez Hubickiego i jego współpracowników: $\text{NH}_4\text{NO}_3 \cdot n\text{NH}_3$ badany przez Hubickiego i Matysika (6, 7, 8, 9, 10), $\text{NH}_4\text{SCN} \cdot n\text{NH}_3$ — Hubicki i Stasiewicz (6, 11), $\text{LiNO}_3 \cdot n\text{NH}_3$ — Hubicki oraz Zychiewicz (6, 12, 13, 14), $\text{NH}_4\text{J} \cdot n\text{NH}_3$ — Hubicki i Jusiak (15, 16), $\text{NaSCN} \cdot n\text{NH}_3$ — Hubicki (6, 17) oraz $\text{LiClO}_4 \cdot n\text{NH}_3$ — Hubicki i Dąbkowska (17, 18, 19, 20). Zupełnie niezależnie od nich włoscy badacze zajęli się amoniakiem NH_4NO_3 — Vecchi (21) oraz amoniakiem NH_4SCN — Curti i Locchi (22).

Ciekłe amoniaki mają z jednej strony tę zaletę, że można przy ich użyciu przeprowadzać pomiary polarograficzne w ciekłym NH_3 pod normalnym ciśnieniem bez zastosowania skomplikowanej aparatury, ale z drugiej strony należy zaznaczyć, że jednak ustępują one ciekłemu NH_3 jako rozpuszczalnikowi tym, że zakres ich stosowania polarograficznego jest ograniczony rozkładem elektrolitu tworzącego dany ciekły amoniak. Z dotychczas przebadanych w Katedrze Chemii Nieorganicznej UMCS ciekłych amoniaków $\text{LiClO}_4 \cdot n\text{NH}_3$ odznacza się nie tylko największą trwałością, ale również i stosunkowo dużym zakresem możliwości stosowania go w polarografii; rozkłady elektrolityczne ciekłych amoniaków NH_4NO_3 , LiNO_3 , NaSCN i NH_4J następują przy potencjałach od $-1,0$ do $-1,3$ V w odniesieniu do spoczynkowej elektrody rtęciowej jako porównawczej, natomiast ciekły $\text{LiClO}_4 \cdot n\text{NH}_3$ daje się stosować do potencjałów bardziej ujemnych.

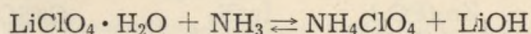
Celem mojej pracy było wyznaczenie punktów półfalowych depolaryzatorów kationowych w ciekłym amoniaku nadchloranu litu. Z punktu widzenia teorii rozpuszczalnikowej ciekły $\text{LiClO}_4 \cdot n\text{NH}_3$ można uważać za amoniak obojętny i nie kompleksujący w odróżnieniu od amoniaków soli amonowych o charakterze kwasowym i amoniaków NH_4J lub NH_4SCN — kompleksujących.

CZĘŚĆ DOSWIADCZALNA

$\text{LiClO}_4 \cdot n\text{NH}_3$ otrzymywano z czystego Li_2CO_3 produkcji BOO Gliwice 60% cz. d. a. HClO_4 firmy Xenon Łódź i NH_3 z butli stalowej produkcji FZA Tarnów. 500 g Li_2CO_3 zmieszano z 1000 ml wody destylowanej i przepuszczano przezeń w ciągu 2 godzin gazowy CO_2 z butli celem przeprowadzenia węglanów wapnia i magnezu w rozpuszczalne wodorowęglany. Oddzielony przy pomocy szklanego sączka osad Li_2CO_3 po kilkakrotnym przemyciu wodą, zalewano w zlewce 5-litrowej z kwaśnego szkła 3 litrami wody i następnie przy ciągłym mieszaniu wprowadzano porcjami niedomiar 60% HClO_4 (1100 ml), ażeby pewna drobna część

Li_2CO_3 wraz z towarzyszącymi węglanami metali ciężkich i KClO_4 pozostała w osadzie. Roztwór LiClO_4 przesączało szybko przez sączek Schotta G3 i następnie zagęszczano na łaźni wodnej do pojawienia się kryształów $\text{LiClO}_4 \cdot 3\text{H}_2\text{O}$. Zagęszczony roztwór przelewano do kolb kwarcowych, odparowywano do momentu, gdy roztwór osiągał temperaturę 130°C . Do tak otrzymanego stopu jedno- i trójwodnika LiClO_4 wprowadzano strumień osuszonego NH_3 przy równoczesnym stopniowym podwyższaniu temperatury do 160°C . Pod wpływem NH_3 wodnik LiClO_4 przechodzi w amoniakato-wodnik, który z kolei przy dalszym działaniu gazowego NH_3 przechodzi w czysty amoniak. $\text{LiClO}_4 \cdot n\text{H}_2\text{O}$ trudno oddaje wodę, ogrzewany nawet do 150°C jeszcze zawiera ślady wody, zastosowany zaś przez mnie sposób postępowania dawał praktycznie roztwory wolne od wody, co można było stwierdzić, przeprowadzając próbę z sodem metalicznym o świeżo oczyszczonej powierzchni. Wprowadzony do badanej cieczy $\text{LiClO}_4 \cdot n\text{NH}_3$ reagował on nadzwyczaj powoli. Po osiągnięciu temp. 160°C wygrzewano uzyskaną ciecz w ciągu około 2 godzin, następnie po usunięciu źródła ciepła przepuszczano nadal amoniak aż do ustalenia temp. 25°C . Reakcja łączenia się NH_3 z LiClO_4 jest reakcją silnie egzotermiczną.

Roztwory wodne LiClO_4 silnie nadgryzają szkło, tym silniej im ono jest bardziej alkaliczne, dlatego też we wszystkich operacjach mających na celu przygotowanie $\text{LiClO}_4 \cdot n\text{NH}_3$ starałam się w miarę możliwości stosować naczynia kwarcowe; niemniej jednak zauważyłam, że ogrzewanie w naczyniach kwarcowych amoniakatu LiClO_4 zawierającego jeszcze pewną ilość wodnika powoduje atakowanie również i kwarcu. Tę aktywność mieszaniny wodnika i amoniakatu LiClO_4 można tłumaczyć tylko reakcją:



Pomimo tego, że ciecz będąca mieszaniną amoniakatu i wodnika nadchloranu litu nadgryza w pewnym stopniu kwarc, używałam naczynia kwarcowe a nie szklane, ażeby uniknąć przedostawania się ze szkła do amoniakatu LiClO_4 jonów metali, które mogłyby powodować na polarogramach niepożądane zakłócenia.

$\text{LiClO}_4 \cdot 4\text{NH}_3$ w temp. 20°C przedstawia gęstą, bezbarwną, opalizującą substancję o konsystencji galaretowatej. Amoniakat zawierający 4,3 drobiny NH_3 w tejże samej temperaturze jest białą substancją stałą, natomiast $\text{LiClO}_4 \cdot 3,5\text{NH}_3$ przedstawia klarowną, bezbarwną, ruchliwą ciecz. Amoniakat LiClO_4 ogrzewany w strumieniu NH_3 pod ciśnieniem 1 atm. przechodzi w LiClO_4 powyżej 200°C ; ogrzany do tej temperatury i oziębiony — zestala się, ogrzany zaś ponownie — topi się wykazując zawartość NH_3 mniejszą niż $1\text{NH}_3 : 1\text{LiClO}_4$ (23, 24). Przewodnictwo właściwe $\text{LiClO}_4 \cdot 4\text{NH}_3$, mierzone za pomocą konduktometru model K-58

Nr 2, Zakłady Miern. Teleelektr. Pol. Warsz., w temp. 26°C wynosi $H = 58 \cdot 10^{-3} \Omega^{-1} \cdot \text{cm}^{-1}$. Gęstość czteroamoniaku mierzona piknometrycznie w temp. 26°C wynosi $d = 1,21 \text{ g} \cdot \text{ml}^{-1}$.

Do pomiarów polarograficznych użyto mikropolarografu Heyrovskiego M 102, dwóch ołowianych akumulatorów 2 V, normalnej kapilary rtęciowej o wydajności $m = 5,7 \text{ mg} \cdot \text{sek}^{-1}$ i czasie kroplenia przy napięciu 0 V w powietrzu $t_p = 2,72 \text{ sek}$ a w ciekłym amoniaku LiClO_4 $t_c = 1,32 \text{ sek}$. oraz anody rtęciowej wewnętrznej spoczynkowej. Stosowano proste naczynka polarograficzne zatykane korkiem, pozwalające na przepuszczanie gazowego NH_3 nad roztworem badanego amoniaku. Amoniak przepuszczany nad roztworami i używany do nasycania cieczy zawsze był uprzednio suszony w butlach stalowych metalicznym sodem.

Polarogramy cieczy podstawowej wykonane przy czułości 1:100 nie wykazywały żadnych zakłóceń; rozkład cieczy następował przy potencjale 1,7 V, mierzonym wobec elektrody anodowej spoczynkowej. Przy czułościach wyższych występowała niezdefiniowana płaska fala w zakresie potencjałów od $-0,8 \text{ V}$ do -1 V , szczególnie charakterystyczna dla amoniaku nieświeżo przygotowanego; możliwe, że falę tę wywoływała zaadsorbowana woda.

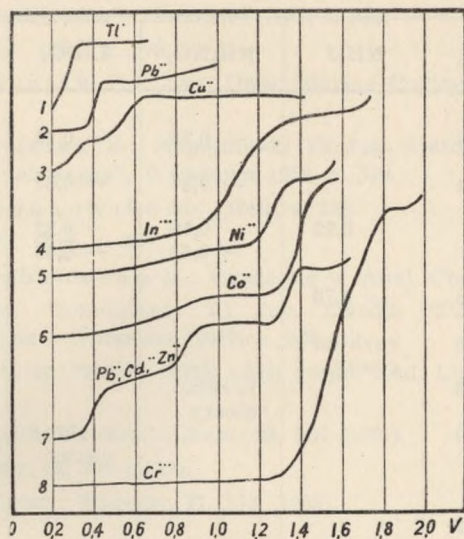
Do pomiarów polarograficznych używano roztworów o różnych stężeniach od 0,0005 N do 0,02 N następujących soli, które starano się przed użyciem odwodnić względnie spreparować w stanie bezwodnym:

$(\text{BiO})_2\text{CO}_3$	ZnCl_2	AlCl_3	$\text{Cd}(\text{ClO}_4)_2$
$\text{Ce}(\text{NO}_3)_3$	$\text{Zn}(\text{ClO}_4)_2$	$\text{Al}_2(\text{SO}_4)_3$	CdCO_3
CrCl_3 uwodn.	ZnCO_3	In_2O_3	CdC_2O_4
$\text{Cr}(\text{ClO}_4)_3$	ZnSO_4	$\text{In}(\text{ClO}_4)_3$	$\text{Cd}(\text{CH}_3\text{COO})_2$
CrCO_3	$\text{Zn}_3(\text{PO}_4)_3$	InCl_3	CdSO_4
$\text{Cr}_2(\text{SO}_4)_3$	$\text{Zn}_3(\text{AsO}_4)_2$	CdCl_2	
CoCl_2	CuCl_2	NiCO_3	Na_2CO_3
$\text{Co}(\text{NH}_3)_6\text{Cl}_2$	CuSO_4	PbCl_2	TlOH
$\text{Co}(\text{NO}_3)_2$	CuCO_3	$\text{Pb}(\text{NO}_3)_2$	TlNO_3
CoCO_3	NiCl_2	PbCO_3	$\text{UO}_2(\text{CH}_3\text{COO})_2$
MnCO_3	$\text{Ni}(\text{ClO}_4)_2$	PbSO_4	FeCl_3
MnCl_2	$\text{Ni}(\text{NO}_3)_2$	SbCl_3	$\text{Fe}(\text{NO}_3)_3$

Większość tych soli były p.a. Mercka, część pochodziła z Foch Gliwice, kilka zaś soli były mojej preparatyki (głównie nadchlorany i węglany); suszono je w odpowiednich temperaturach często przy zmniejszonych ciśnieniach i przechowywano w naczynkach polarograficznych otwartych nad stęż. H_2SO_4 w eksykatorze przez kilka dni. Niektóre z soli silnie higroskopijnych z konieczności stosowano w stanie nieodwodnionym.

Pomiary polarograficzne przeprowadzano w temperaturze od 20° do 26°C. Dobrze wykształcone fale polarograficzne w roztworach ciekłego

$\text{LiClO}_4 \cdot n\text{NH}_3$ dają następujące jony: Cu^{2+} , Pb^{2+} , Cd^{2+} , Tl^{1+} , In^{3+} , Ni^{2+} , Co^{2+} (z soli aminowych), Cr^{3+} , Zn^{2+} . Z jonów tych chrom daje tylko falę przy bardzo małych czułościach galwanometru ze stężonych roztworów, natomiast inne kationy dają polarogramy wyraźne i łatwe do interpretacji przy czułościach 1:30, 1:40, 1:50 i 1:100. Przykłady kilku polarogramów otrzymanych w roztworach ciekłego amoniaku nadchloranu litu przedstawia wykres 1.



Wykres 1. Krzywe polarograficzne redukcji kationów w ciekłym $\text{LiClO}_4 \cdot n\text{NH}_3$
 1. TlNO_3 ca $4 \cdot 10^{-3}$ M czułość 1:50, 2. PbCO_3 ca $5 \cdot 10^{-3}$ M czułość 1:50, 3. CuCl_2 ca $3 \cdot 10^{-4}$ M czułość 1:100, 4. $\text{In}(\text{ClO}_4)_3$ ca 10^{-3} M czułość 1:40, 5. $\text{Ni}(\text{ClO}_4)_2$ ca $5 \cdot 10^{-3}$ M czułość 1:50, 6. $\text{Co}(\text{NH}_3)_6\text{Cl}_2$ czułość 1:30, 7. $5 \cdot 10^{-3}$ M, $\text{Pb}(\text{NO}_3)_2$, $\text{Cd}(\text{CH}_3\text{COO})_2$ i ZnCO_3 czułość 1:30, 8. $\text{Cr}(\text{NO}_3)_3$ uwodniony czułość 1:500.

Nie otrzymano fal polarograficznych z roztworów soli Fe^{3+} , Sb^{3+} , Mn^{2+} , Al^{3+} , Ce^{3+} , BiO^{1+} , UO_2^{2+} . Nie zauważono w żadnym wypadku, ażeby stężenie roztworu wpłynęło na przesunięcie potencjału półfalowego; dość znaczne dodatki wody przesuwają punkty półfalowe minimalnie w kierunku fal dodatnich.

Równocześnie stwierdziłam, że niektóre sole, trudno rozpuszczalne w wodzie, łatwiej rozpuszczają się w ciekłym $\text{LiClO}_4 \cdot n\text{NH}_3$; należą do nich między innymi: CdCO_3 , CdC_2O_4 , PbSO_4 , PbCO_3 i CuCO_3 . Wszystkie wyniki były powtarzalne.

Tabela 1 podaje wartości punktów półfalowych, mierzone w odniesieniu do spoczynkowej anody rtęciowej jako porównawczej, dla niektórych jonów metali w ciekłym amoniaku LiClO_4 i innych ciekłych amoniakach; te ostatnie są cytowane na podstawie publikacji (6, 8, 12, 13, 15, 22).

Tabela 1.

Depolaryzator	A m o n i a k a t y					
	LiClO_4	NH_4J	NH_4NO_3	LiNO_3	NH_4SCN	NaSCN
Tl^{1+}	- 0,33		- 0,25	- 0,24	- 0,33	- 0,32
Pb^{2+}	- 0,41		- 0,37	- 0,37	- 0,35	- 0,34
Cu^{2+}	- 0,3 - 0,5	- 0,22	- 0,19 - 0,43	- 0,22 - 0,43		
Cd^{2+}	- 0,83	- 0,78				
In^{3+}	- 1,08	rozkład cieczy				
Ni^{2+}	- 1,28		rozkład cieczy			
Zn^{2+}	- 1,35			rozkład cieczy		
Co^{2+}	- 1,4				rozkład cieczy	
Cr^{3+}	- 1,62 rozkład cieczy					

Jak widać z tego zestawienia ciekły $\text{LiClO}_4 \cdot n\text{NH}_3$ daje o wiele większe możliwości w analizie polarograficznej ze względu na szerszy zakres stosowalności w porównaniu z innymi dotychczas stosowanymi amoniakami w polarografii.

PISMIENNICTWO

1. Fredenhagen: Z. anorg. Ch, 186, 5 (1930).
2. Laitinen H. A., Nyman C. J.: J. Am. Soc. 70, 2241, 3002 (1948).
3. Nyman C. J.: J. Am. Soc. 71, 3914 (1949).
4. Laitinen H. A., Schoemaker C. E.: J. Am. Soc. 72, 663 (1950).
5. Divers E.: Phil. Trans. 163, 359 (1873).
6. Hubicki W.: Ann. Univ. Mariae Curie-Skłodowska, sec. AA, X, 5 (1955).
7. Hubicki W., Matysik J.: Ann. Univ. Mariae Curie-Skłodowska. Sec. AA, IX, 1 (1954).

8. Hubicki W., Matysik J., Zychiewicz Z.: Univ. Mariae Curie Skłodowska, Sec. AA, **X**, 10 (1955).
9. Hubicki W., Matysik J.: Ann. Univ. Mariae Curie-Skłodowska, Sec. AA, **XI**, 5 (1956).
10. Matysik J.: Komunikaty VI Jub. Zjazdu PTCh, Zeszyt Specjalny „Chemia Analityczna”, Warszawa 1959, s. 319.
11. Stasiewicz A.: *ibid.*, s. 74.
12. Hubicki W., Zychiewicz Z.: Ann. Univ. Mariae Curie-Skłodowska, sec. AA, **IX**, 7 (1954).
13. Hubicki W., Zychiewicz Z.: Komunikaty VI Jub. Zjazdu PTCh. Zesz. Specj. „Chemia Analityczna”, Warszawa 1959, s. 320.
14. Zychiewicz Z.: *ibid.*, s. 379.
15. Hubicki W., Jusiak S.: Ann. Univ. Mariae Curie-Skłodowska, sec. AA, **XII**, 11 (1957).
16. Hubicki W., Jusiak S.: Komunikaty VI Jub. Zjazdu PTCh. Zeszyt Specjalny „Chemia Analityczna”, Warszawa 1959, s. 319.
17. Hubicki W., Dąbkowska M.: *ibid.*, s. 319.
18. Dąbkowska M.: *ibid.*, s. 307.
19. Hubicki W., Dąbkowska M.: Ukaże się w Anal. Chem. **32**, grudzień 1960.
20. Dąbkowska M.: Komunikaty VI Jub. Zjazdu PTCh. Zeszyt Specjalny „Chemia Analityczna”, Warszawa 1959, s. 308.
21. Vecchi E.: C. A. **47**, 7915^{f-1} (1953) (Atti acad. nazl. Lincei, Rend. Ser. **8**, 14, 290, (1953)).
22. Curti R., Locchi S.: Anal. Chem. **29**, 534 (1957).
23. Ephraim F.: Ber. **52**, 236 (1919).
24. Smeets C.: Natuurv. Tijdschr. **17**, 213 (1935).

РЕЗЮМЕ

Полярграфические исследования некоторых неорганических соединений в жидком аммиаке $\text{LiClO}_4 \cdot n\text{NH}_3$ показывают, что хорошо образованные волны дают ионы: Tl^{1+} , Pb^{2+} , Cd^{2+} , In^{3+} , Ni^{2+} , Co^{2+} , Cr^{3+} (при небольшой чувствительности гальванометра), а также ион Zn^{2+} . Прибавление довольно значительного количества воды передвигает потенциал полуволн в более положительную сторону.

Полярграфические волны не наблюдались в случае растворов соли Fe^{3+} , Sb^{3+} , Mn^{2+} , Al^{3+} , Ce^{3+} , BiO^{1+} и UO_2^{2+} .

Величины потенциала полуволн относительно ртутного электрода приведены в таб. I.

Из сравнения потенциалов разложения основных растворов, жидкий аммиак LiClO_4 имеет гораздо больший предел применения в полярграфии чем другие аммонийные соли.

SUMMARY

The authoress carried out polarographic measurements of some solutions of inorganic salts in the anhydrous liquid $\text{LiClO}_4 \cdot n\text{NH}_3$ ammoniate at temp. $24^\circ\text{--}26^\circ\text{C}$. The results obtained show that Tl^{1+} , Pb^{2+} , Cd^{2+} , In^{3+} , Ni^{2+} , Co^{2+} , Cr^{3+} (only when a galvanometr of great sensitivity is used) and Zn^{2+} give waves of cathodic reduction that are well developed and reproducible. The solutions of Fe^{3+} , Sb^{3+} , Mn^{2+} , Al^{3+} , Ce^{3+} , BiO^{1+} and UO_2^{2+} salts in liquid $\text{LiClO}_4 \cdot n\text{NH}_3$ do not give polarographic waves. The values of half-potential ($\pi_{1/2}$) measured against the pool mercury anode are given in table I. It was shown that the small quantities of water, contained in the solution investigated, had no influence on the $\pi_{1/2}$.

Table I shows that $\text{LiClO}_4 \cdot n\text{NH}_3$, as the solvent and supporting electrolyte in polarographic measurements, has a wider range (-0.2 V to -1.7 V) than the other liquid ammoniates so far used for this purpose.